

بررسی اثر ساختمان خاک بر منحنی رخنه بروماید در شرایط رطوبتی اشباع و غیراشباع

الهام امیری^{۱*}، علی اکبر محبوبی^۱، محمد رضا مصدقی^۲ و حسین شیرانی^۳

(تاریخ دریافت: ۱۳۹۱/۰۳/۱۶؛ تاریخ پذیرش: ۱۳۹۱/۱۲/۰۸)

چکیده

در این پژوهش اثر ساختمان خاک در انتقال بروماید غیرفعال تحت شرایط جریان اشباع و غیراشباع بررسی گردید. تیمارهای ساختمان خاک شامل ستون‌های خاک دست‌نخورده (ساختمان منشوری و دانه‌ای) و خاک دست‌خورده (ساختمان تک‌دانه) بودند. غلظت ثابتی از برومید (M ۰/۰۰۵) بر سطح ستون‌ها تحت شرایط جریان ماندگار اعمال شد. برای شرایط اشباع، شدت جریانی برابر با بیشترین هدایت هیدرولیکی اشباع (K_s) خاک‌ها و برای ایجاد شرایط غیراشباع، شدت جریانی برابر نصف کمترین K_s روی ستون‌ها اعمال گردید. آبشویی ستون‌ها تا حجم آب خروجی ۵ حجم آب منفذی (PV) ادامه یافت. غلظت برومید خروجی با فواصل ۲PV/۰ توسط الکتروود انتخابگر برومید اندازه‌گیری شد. منحنی رخنه برومید برای ساختمان تک‌دانه S شکل و نزدیک به الگوی جریان‌های پیستونی و مویینه‌ای بود. در دو ساختمان منشوری و دانه‌ای، منحنی رخنه در ابتدا دارای شیب تند و سپس شیب ملایم‌تر و کشیده بود. مسیرهای ترجیحی موجب خروج زود هنگام برومید از ستون‌های خاک در این دو ساختمان شد. کشیدگی منحنی رخنه بیان‌گر نقش مهم پخشیدگی و پراکنش در انتقال برومید در این خاک‌ها می‌باشد. در شرایط اشباع، جبهه برومید نسبت به شرایط غیراشباع به علت غالبیت جریان توده‌ای و جریان سریع‌تر در منافذ درشت زودتر به انتهای ستون رسید. نتایج این پژوهش اهمیت ساختمان خاک، مسیرهای ترجیحی و شرایط جریان را در انتقال املاح نشان می‌دهد.

واژه‌های کلیدی: ساختمان منشوری، ساختمان دانه‌ای، ساختمان تک‌دانه، حجم آب منفذی، جریان ترجیحی، کشیدگی

۱. گروه علوم خاک، دانشکده کشاورزی، دانشگاه بوعلی سینا، همدان

۲. گروه علوم خاک، دانشکده کشاورزی، دانشگاه صنعتی اصفهان، اصفهان

۳. گروه علوم خاک، دانشکده کشاورزی دانشگاه ولی‌عصر، رفسنجان

*: مسئول مکاتبات، پست الکترونیکی: elham1575@gmail.com

مقدمه

در سالیان اخیر آلودگی منابع آب زیرزمینی، آب‌های سطحی و محیط زیست به‌واسطه املاح و آلاینده‌های شیمیایی در گستره وسیعی از جهان مشکل‌آفرین شده است. از اینرو موضوع حرکت املاح و آلاینده‌ها در خاک‌ها و آبخوان‌ها دارای اهمیت زیادی است و به‌همین جهت پژوهش‌های زیادی در رابطه با جنبه‌های مختلف فرایند حرکت و انتقال این مواد صورت گرفته است. محیط متخلخل خاک بستر حرکت و انتقال مواد آلاینده از سطح تا اعماق است. ویژگی‌های فیزیکی خاک به‌ویژه شاخص‌های ساختمان خاک، توزیع اندازه منافذ، پیوستگی آنها در طول نیمرخ خاک، اعوجاج، هدایت هیدرولیکی و درز و ترک‌های موجود در طول نیمرخ خاک فرایند حرکت و انتقال املاح را تحت تأثیر قرار می‌دهد. از آنجاکه این ویژگی‌ها در رابطه با حرکت آب و مواد در خاک مهم‌اند، بنابراین ساختمان خاک اهمیت زیادی در حرکت آب و مواد در خاک دارد (۱۹).

در بحث ساختمان خاک، پیوستگی و توزیع اندازه منافذ خاک، به‌ویژه حجم و پیوستگی منافذ بزرگ‌تر از ۳۰ میکرون (برای نمونه منافذ ناشی از فعالیت ریزجانداران، درز و شکاف‌های حاصل از انقباض، و سایر منافذ بین خاکدانه‌ای) تأثیر عمده‌ای بر جریان آب و املاح در خاک دارند. در مکش‌های ماتریک نزدیک صفر عمدتاً جریان آب و املاح در منافذ متوسط و درشت رخ می‌دهد که گذرگاه‌های گمانه‌ای می‌باشند (۲۰). ساختمان خاک به‌طور غیرمستقیم بر انتشار املاح تأثیر می‌گذارد که به تغییرات مقدار رطوبت ناشی از اختلاف در توزیع اندازه منافذ مربوط می‌شود (۲). حرکت جانبی و توزیع مجدد محلول ورودی از سطح خاک و هم‌چنین حرکت املاح در منافذ درشت دو فرآیندی می‌باشند که منجر به تغییر مکانی آب و املاح در خاک ساختمان‌دار می‌شوند (۱۴).

ورورت و همکاران (۱۸) انتشار پذیری در شرایط غیراشباع را به‌وسعت توزیع اندازه منافذ مربوط می‌داند که از شیب منحنی مشخصه رطوبتی به‌دست می‌آید.

شرایط رطوبتی خاک از جمله جریان اشباع و غیراشباع و

شدت جریان نیز در چگونگی حرکت املاح و آلاینده‌ها در خاک اهمیت دارد. در شرایط اشباع، جریان در منافذ درشت در انتقال املاح نقش داشته و به‌طور معنی‌داری انتشار املاح را افزایش می‌دهد. ولی در شرایط غیراشباع منافذ متوسط و ریز در انتقال آب و املاح شرکت دارند و بسته به درجه اشباع خاک، سرعت انتقال و حرکت املاح متفاوت است. هرچه درجه اشباع خاک افزایش یابد، جریان آب و در نتیجه جریان املاح نیز افزایش می‌یابد (۲). در شدت جریان‌های زیاد، حرکت املاح سریع بوده، اختلاط آب و املاح کم است و جریان روان نقش عمده را در انتقال ایفا می‌کند. در شدت جریان‌های کم، فرآیندهای پخشیدگی و پراکنش در انتقال املاح نقش دارند (۱۱).

جریان ترجیحی مانند جریان از طریق منافذ درشت و کانال‌ها و جریان انگشت - مانند می‌باشد که بیشتر در خاک‌های ساختمان‌دار دیده می‌شود (۳). میزان رطوبت خاک بر جریان ترجیحی تأثیر می‌گذارد؛ به‌همین جهت جریان ترجیحی بیشتر در خاک‌های مرطوب دیده می‌شود (۶). در پژوهش‌های انجام گرفته در مورد تعیین مسیرهای جریان ترجیحی در خاک‌های دست نخورده؛ (۱) منافذ درشت ناشی از نقل و انتقال و حرکت جانداران خاکزی، فعالیت ریشه و درز و ترک‌های ناشی از انقباض و انبساط خاک، (۲) جبهه ناپایدار رطوبتی یا جریان انگشت مانند، و (۳) جریان‌های قیفی شکل که در شرایط توپوگرافی خاص و در خاک‌های لایه‌ای شیب‌دار به‌وجود می‌آید را می‌توان از دلایل عمده ایجاد جریان ترجیحی بیان کرد (۷). بوچتر و همکاران (۵) عامل انتقال سریع املاح در خاک‌های غیراشباع را به جریان ترجیحی در اثر ناهمگنی در ویژگی‌های هیدرولیکی خاک، منافذ درشت، ناپایداری جریان و شرایط مرزی متغیر نسبت دادند. حرکت نامنظم املاح در خاک لایه‌ای ساختمان‌دار، ناشی از جریان ترجیحی در قسمتی از مقطع جریان خاک و جریان آهسته‌تر در قسمت‌های دیگر ذکر شده است (۱۵). به‌علاوه، این نوع جریان ممکن است با توجه به مسیر و سرعت جریان، موجب حرکت سریع املاح به زیر

جدول ۱. ویژگی های فیزیکی خاک های مورد بررسی ۱

نوع خاک	بافت	ρ_b (Mg m ⁻³)	ρ_s (Mg m ⁻³)	TP (% v/v)	Macrop (% v/v)	MicroP (%v/v)	MWD (mm)	Ks (cm h ⁻¹)
A	شنی	۱/۵۵	۲/۵۱	۳۸/۰	۱۹/۲	۱۸/۸	۰/۰	۱۱/۶
B	لوم رسی	۱/۲۷	۲/۵۱	۴۸/۰	۱۲/۰	۳۶/۰	۲/۲	۳/۰
C	لوم رسی	۱/۱۹	۲/۳۳	۴۹/۰	۲۴/۰	۲۵/۰	۳/۸	۴/۹

A (ساختمان تک دانه)، B (ساختمان منشوری) و C (ساختمان دانه ای)، (ρ_b چگالی ظاهری)، (ρ_s چگالی حقیقی)، (TP تخلخل کل)، (MacroP تخلخل درشت)، (MicroP تخلخل ریز)، (MWD میانگین قطر وزنی خاکدانه ها) و (Ks ضریب آگذری اشباع)

Aeric (خاک C با ساختمان دانه ای) در استان همدان انجام گرفت. نمونه گیری خاک دست نخورده در شرایط رطوبتی مناسب با استفاده از سیلندرهایی فلزی از جنس آهن گالوانیزه به ضخامت ۳ میلی متر، قطر درونی ۱۶ سانتی متر و ارتفاع ۳۲ سانتی متر انجام گرفت. پیش از نمونه گیری جداره درونی سیلندرها توسط پارافین مایع آغشته شد تا از ایجاد جریان ترجیحی در محل تماس خاک با سیلندر جلوگیری شود و اصطکاک بین خاک و جداره درونی سیلندر در هنگام نمونه برداری کاهش یابد. جهت آماده سازی ستون های خاک با ساختمان تک دانه (که ذرات دارای پیوستگی نبوده و به نوعی خاک بدون ساختمان را بیان می کند)، با توجه به حجم مشخص ستون خاک (ارتفاع ۲۵ cm و قطر درونی ۱۶ cm) و چگالی ظاهری خاک شنی (۱/۵۵ Mg cm⁻³)، جرم خاک مورد نیاز محاسبه شده و درون ستون ها ریخته شد. پس از نمونه گیری، در زیر ستون های خاک یک توری فلزی بسته شده، ستون ها به آزمایشگاه منتقل شده و درون قیف فلزی بر روی چهارپایه ای مستقر شدند. با اشباع کردن ستون های خاک، هدایت هیدرولیکی اشباع آنها به روش بار ثابت اندازه گیری شد. در جدول ۱ برخی از ویژگی های فیزیکی خاک ها آورده شده است.

آزمایش های آبشویی

جهت انجام آزمایش های آبشویی غلظت ثابتی از برومید (M) ۰/۰۰۵ بر سطح ستون های خاک تحت شرایط جریان ماندگار اعمال شد. برای شرایط اشباع، شدت جریانی برابر با بیشترین هدایت هیدرولیکی اشباع (K_s) خاک ها (مربوط به ساختمان

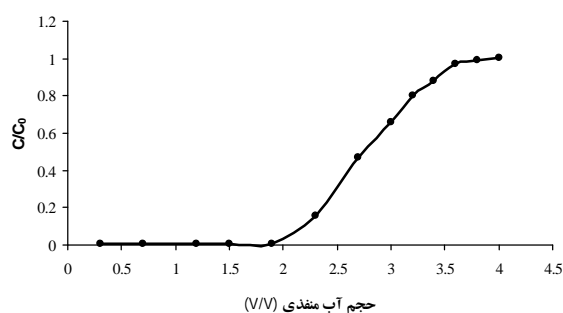
ناحیه فعالیت ریشه شده و در نتیجه باعث گسترش آلودگی آب های زیرزمینی و خاک گردد (۸).

اگرچه حرکت آلاینده ها در خاک به ویژه در دو دهه اخیر از جنبه های مختلف مورد بررسی قرار گرفته است اما هنوز نقش ساختمان خاک به ویژه از جنبه مقایسه انواع ساختمان های مختلف به خوبی بررسی نشده است. با توجه به نقش بسیار مهم ساختمان خاک در حرکت املاح و آلاینده ها در خاک های ساختمان دار، این پژوهش به منظور شناخت چگونگی حرکت برومید به عنوان ردیاب حرکت این مواد در خاک های با ساختمان های مختلف در راستای شناخت چگونگی آلودگی ناشی از انتقال این مواد به منابع آب زیرزمینی و خاک انجام شد. این مقاله با استفاده از منحنی های رخنه درجه اهمیت هر یک از عوامل انتقال، پراکنش، تبادل و دفع یونی را در حرکت املاح مورد بحث قرار می دهد.

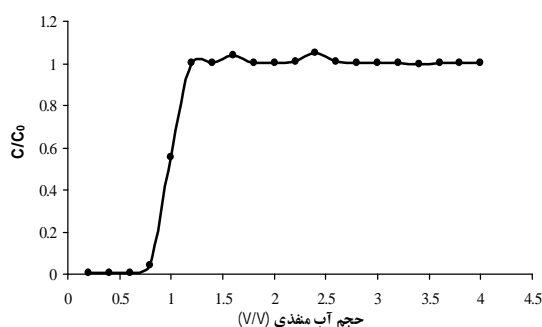
مواد و روش ها

نمونه برداری خاک و استقرار ستون های آبشویی

این پژوهش در شرایط آزمایشگاهی بر روی ستون های دست نخورده خاک با سه نوع ساختمان مختلف در شرایط اشباع و غیر اشباع ماندگار انجام شد. نمونه برداری از زمین های تحت کشت غلات منطقه صالح آباد با رده بندی خاک Typic Xerofluent (خاک A با ساختمان تک دانه)، منطقه بهار با رده بندی خاک Typic Xerofluent (خاک B با ساختمان منشوری) و منطقه اسدآباد با رده بندی خاک Endoaquepts



(ب)



(الف)

شکل ۱. منحنی رخنه حرکت برومید در ستون خاک با ساختمان تک‌دانه در شرایط جریان اشباع (الف) و غیراشباع (ب)

توسط سرنگ از طریق سه‌راهی متصل به قیف خروجی انجام شد و غلظت برومید خروجی نمونه‌ها با فواصل ۰/۲PV توسط الکتروود انتخابگر برومید اندازه‌گیری شد.

منحنی رخنه برومید

در این پژوهش منحنی رخنه (BTC) برومید به صورت غلظت نسبی برومید (C/C₀) در برابر حجم آب منفذی (PV) تا ۵PV رسم شد و روند حرکت برومید در خاک تحت تأثیر ساختمان خاک و شرایط جریان در طول آزمایش‌های آبشویی مورد تجزیه و تحلیل قرار گرفت. برای رسم منحنی‌های رخنه از برنامه Excel استفاده شد.

نتایج و بحث

شکل منحنی رخنه به نوع ساختمان خاک و به تبع آن شکل هندسی منافذ، توزیع اندازه منافذ، قطر و پیوستگی منافذ و اعوجاج آنها بستگی دارد. هم‌چنین شرایط رطوبتی خاک، سرعت جریان آب، توزیع سرعت املاح و درجه اشباع خاک منحنی رخنه را تحت تأثیر قرار می‌دهد.

اثر ساختمان تک‌دانه بر منحنی رخنه برومید

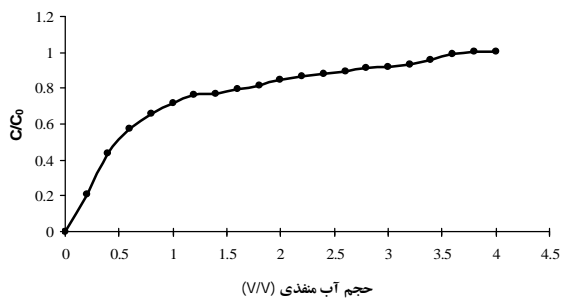
در شکل ۱ الف منحنی رخنه برومید برای ساختمان تک‌دانه تحت شرایط اشباع نشان داده شده است. منحنی رخنه در این تیمار در ۰/۸ PV آب خروجی شروع و در ۱/۲PV آب

تک‌دانه) روی تمامی ستون‌ها اعمال شد. بنابراین در ساختمان منشوری و دانه‌ای بار آبی روی ستون‌ها ایجاد گردید. هم‌چنین در برخی از ستون‌ها با هدایت هیدرولیکی اشباع خیلی کم، مکشی از پایین ستون خاک به وسیله پمپ خلأ نیز اعمال شد تا شدت جریان موردنظر ایجاد شود.

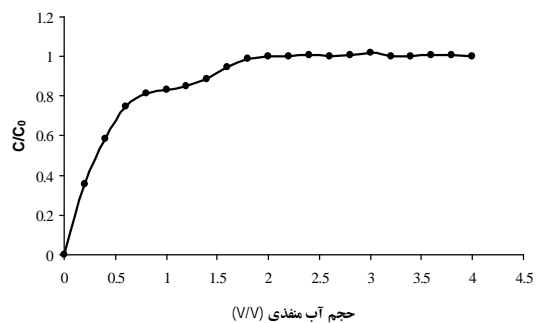
برای ایجاد شرایط غیراشباع، شدت جریانی برابر نصف کمترین K_s (مربوط به ساختمان منشوری) روی ستون‌ها اعمال گردید. جهت جلوگیری از اشباع شدن، انتهای ستون‌ها تحت مکش قرار گرفت. برای یافتن این مکش، مقادیر مختلف مکش به انتهای ستون‌ها اعمال گردید و در آخر مکشی انتخاب شد که در آن در زمان‌های یکسان، حجم آب ورودی برابر حجم آب خروجی از ستون‌ها بود. کل حجم خروجی محلول برومید از ستون‌ها برابر پنج برابر حجم آب منفذی (۵PV) آنها بود که در ۲۵ زمان مساوی (با فواصل ۰/۲ PV)، نمونه‌برداری شد. حجم آب منفذی (PV) برابر حجم آب موجود در یک خاک می‌باشد. حجم آب منفذی ستون‌های خاک در شرایط جریان اشباع و غیراشباع ماندگار با استفاده از رابطه زیر محاسبه گردید:

$$PV = \theta_v \times V_t \quad [1]$$

که در این رابطه: PV حجم آب منفذی بر حسب سانتی‌متر مکعب، q_v رطوبت حجمی اشباع و غیراشباع خاک بر حسب سانتی‌متر مکعب بر سانتی‌متر مکعب و V_t حجم کل ستون خاک بر حسب سانتی‌متر مکعب می‌باشند. نمونه‌گیری از محلول خروجی (به مقدار ۵ سانتی‌متر مکعب) پس از شروع آبشویی



(ب)



(الف)

شکل ۲. منحنی رخنه حرکت برومید در ستون خاک با ساختمان منشوری در شرایط جریان اشباع (الف) و غیراشباع (ب)

همگن شنی و بسیار سبک به صورت S شکل می‌باشد. شکل ۱. ب منحنی رخنه برومید برای تیمار ساختمان تک دانه در شرایط غیراشباع را نشان می‌دهد. با توجه به شکل منحنی در این تیمار دیده می‌شود که منحنی رخنه نسبت به حالت اشباع از شکل صاف‌تر و کشیده‌تر و شیب ملایم‌تری برخوردار است. کشیده‌تر شدن منحنی و شیب ملایم آن احتمالاً به علت پراکنش ناشی از توزیع سرعت آب و برومید در پیکره خاک، در شرایط غیراشباع می‌باشد. در شرایط غیراشباع، پوسته‌های ضخیم آبی شبیه منافذ بزرگ و پوسته‌های نازک آبی مشابه منافذ کوچک‌تر عمل می‌کند. با توجه به اینکه سرعت حرکت آب و برومید در مجراهای بزرگ‌تر نسبت به مجراهای کوچک‌تر بیشتر است، بنابراین توزیع سرعت و در نتیجه پراکنش نقش اصلی را در حرکت برومید تحت شرایط جریان غیراشباع در این ساختمان داشته است. از طرفی چون سرعت حرکت برومید در این شرایط کندتر است، پخشیدگی نیز مهم می‌شود. مشابه این نتیجه را در گزارش نلسن و بیگار می‌توان یافت (۱۲). پژوهش‌های آنها نشان داد که منحنی رخنه کلرید برای خاک شنی به علت توزیع سرعت و در نتیجه انتشار طولی در منافذ خاک از الگوی پیستونی و موئینه‌ای دور شده و شیب ملایمی پیدا کرده است. در شرایط غیراشباع منحنی رخنه برومید در $1/8PV$ آب خروجی شروع شده است که نسبت به حالت اشباع $1PV$ تأخیر داشته است. دیرآیی برومید نشان دهنده حرکت کندتر برومید

خروجی کامل شده است. ظهور دیرهنگام برومید در خروجی احتمالاً به این دلیل است که در زمان‌های اولیه شروع آبشویی تا $1/8PV$ جبهه آلودگی (حرکت پیستونی و موئینه‌ای) هنوز به انتهای ستون نرسیده است و غلظت برومید در محلول خروجی بسیار ناچیز و نزدیک صفر می‌باشد. تفاوت اندک سرعت آب در منافذ این خاک احتمالاً دلیل مهم نزدیک بودن به جریان‌های پیستونی و موئینه‌ای است. شیب تند منحنی در حول و حوش $1PV=C_0$ می‌تواند به علت نقش ناچیز فرآیندهای پخشیدگی و پراکنش ناشی از توزیع یکنواخت اندازه منافذ در ساختمان تک‌دانه و توزیع یکنواخت سرعت حرکت برومید در شرایط اشباع باشد. برتری جریان توده‌ای در این تیمار موجب شد تا جبهه برومید خیلی زود، در $1/2PV$ از آب خروجی (پس از $1/4PV$) به طور کامل به انتهای ستون برسد و در $1/8PV$ از آب خروجی، غلظت نسبی برومید $0/5$ را داشته باشد که بیان‌گر تقارن منحنی رخنه می‌باشد. از اینرو در این شرایط در حرکت برومید، دیرآیی یا تأخیر دیده نشد که به نبود برهم‌کنش خاک و برومید مربوط است. هم‌چنین برومید یک ردیاب غیرفعال است، وارد واکنش‌های تبادل و رسوب نمی‌شود و جذب آن در خاک به ویژه در خاک‌های مورد بررسی (با pH قلیایی) بسیار کم است. منحنی رخنه S شکل و کاملاً متقارن و دارای شیب تند در $C/C_0=0/5$ بود که با نتایج شولین و همکاران هماهنگ (۱۶) بود. نتایج آنها نشان داد که منحنی رخنه برای خاک‌های

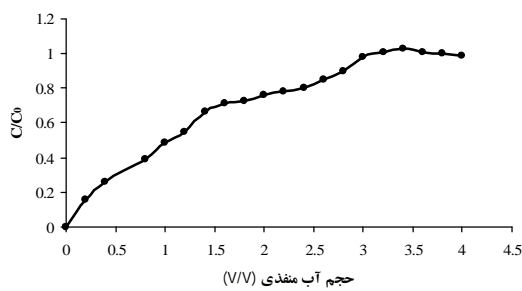
در شرایط غیراشباع می‌باشد (شکل ۱-الف و ب). احتمالاً دیرآبی به این دلیل است که در این شرایط، عمده جریان در منافذ ریز صورت می‌گیرد. شیب ملایم منحنی رخنه در PV های بالاتر به علت وجود آب غیرمتحرک در شرایط غیراشباع می‌باشد، که باعث کشیدگی منحنی رخنه شده است. منحنی رخنه در ۴PV از آب خروجی کامل شده است. در این تیمار حجم‌های آب خروجی بیشتری لازم است تا منحنی رخنه برومید کامل شده و جبهه برومید به‌طور کامل به انتهای ستون برسد.

اثر ساختمان منشوری بر منحنی رخنه برومید

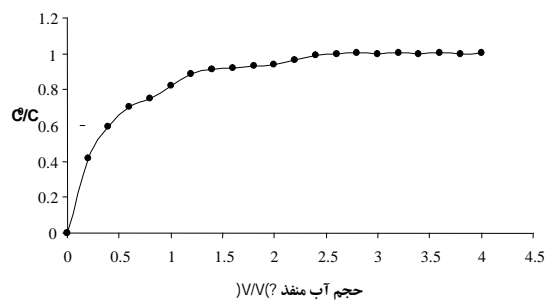
منحنی رخنه برومید در ساختمان منشوری تحت شرایط اشباع به سمت چپ و دور از محور x میل کرده است (شکل ۲-الف). در این منحنی رخنه، شیب تندی در حجم‌های آب خروجی ابتدایی (تا ۸PV) و سپس شیب ملایم‌تری تا ۲PV آب خروجی دیده می‌شود. شیب تند منحنی رخنه در ابتدای آیشویی احتمالاً به دلیل جریان ترجیحی در درز و ترک‌های عمودی و منافذ درشت و مسیرهای ترجیحی در این ساختمان می‌باشد. این مسیرهای ترجیحی باعث شده‌اند که غلظت برومید در ۲PV آب خروجی، بسیار بیشتر از خاک شنی باشد و منحنی رخنه برومید به سمت چپ و دور از محور x میل کند. هم‌چنین خروج زود هنگام برومید در این ساختمان نسبت به ساختمان تک‌دانه به دلیل دفع آنیونی برومید می‌باشد. به طوری که برومید توسط بار منفی رس‌ها دفع و وارد مرکز منافذ شده و سریع‌تر انتقال یافته است در صورتی که در ساختمان تک‌دانه نقش دفع آنیونی به دلیل رس کم آن ناچیز است. شیب بسیار کم منحنی در ۸PV تا ۱۱PV آب خروجی احتمالاً به دلیل وارد شدن برومید به درون منافذ ریز خاک، وارد شدن به آب غیرمتحرک و در نتیجه انتقال بسیار کند آن می‌باشد. ثابت شدن C/C_0 در حجم‌های آب خروجی پایانی به دلیل آن است که آب غیرمتحرک از برومید اشباع شده و خاک هر آنچه به آن اضافه می‌شود را انتقال می‌دهد. در این تیمار، منحنی رخنه متقارن

نیست و سطح بالا و پایین محصور بین خط عمودی $PV=1$ و به ترتیب $C/C_0=0$ و $C/C_0=1$ در اطراف نقطه $C/C_0=0.5$ برابر نمی‌باشد که احتمالاً به دلیل تبادل و ورود و خروج برومید در پیکره خاک در بخش متحرک و غیرمتحرک و پخشیدگی برومید بین این دو بخش می‌باشد. نتایج به دست آمده با نتایج بوما هماهنگ است. نتایج این پژوهشگر نشان داد که در خاک‌های ریزبافت با منافذ صفحه‌ای و کانال‌ها، کلرید زودتر در خروجی ستون‌ها دیده می‌شود. این نتیجه به حرکت سریع کلرید در منافذ بزرگ‌تر در شرایط اشباع و حرکت خیلی کند هم‌زمان در منافذ ریز محیط نسبت داده شده است (۴). هم‌چنین استروک و همکاران با بررسی انتقال و منحنی رخنه برومید در بلوک‌های خاک دست‌نخورده دریافتند که به علت جریان ترجیحی ناشی از تفاوت بافت، ساختمان، تخلخل درشت، درجه شیب زمین در بلوک‌ها، منحنی رخنه دارای شیب تند اولیه بوده است (۱۷). ما و سلیم هم گزارش کردند که جریان ترجیحی املاح در خاک‌های ساختمان‌دار موجب می‌شود که منحنی رخنه شکلی دو قسمتی داشته باشد (۹). کیزا و همکاران نیز مقادیر کم دیرآبی املاح را در سرعت‌های آب منفذی زیاد به دست آوردند. براساس نظر آنها در سرعت‌های زیاد آب منفذی، منافذ درشت پر شده و آب و املاح از راه این منافذ درشت حرکت می‌کنند. در نتیجه اختلاط املاح با محلول خاک کامل نیست و املاح سریع‌تر در محیط متخلخل خاک حرکت می‌کنند (۱۳).

منحنی رخنه برومید در شرایط غیراشباع نسبت به حالت اشباع به سمت راست و نزدیک محور x میل کرده است شکل (۲-ب). شیب کمتر منحنی در حجم‌های آب خروجی کم به علت جریان ترجیحی کمتر در شرایط غیراشباع می‌باشد. منحنی در $C/C_0=0.5$ متقارن نیست و از این نظر مشابه شرایط اشباع می‌باشد. کشیدگی منحنی نسبت به منحنی رخنه برومید در شرایط اشباع بیشتر شده است، که احتمالاً به دلیل نقش بیشتر پخشیدگی و انتشار می‌باشد. پخشیدگی و انتشار را می‌توان به توزیع گسترده اندازه منافذ در خاک ریزبافت، درصد رس و اعوجاج زیاد منافذ آن نسبت داد. دنباله‌دار شدن منحنی رخنه



(ب)



(الف)

شکل ۳. منحنی رخنه حرکت برومید در ستون خاک با ساختمان دانه‌ای در شرایط جریان اشباع (الف) و غیراشباع (ب)

منشوری دارا می‌باشد (شکل ۳-الف)، که احتمالاً در ساختمان دانه‌ای به دلیل تخلخل کل زیاد، کانال‌های حاصل از رشد ریشه و پیوستگی بیشتر منافذ، سرعت حرکت برومید در حجم‌های آب خروجی ابتدایی بسیار سریع بوده و مقدار زیادی برومید نسبت به دو خاک منشوری و تک‌دانه خارج شده است. این حالت نشان دهنده این است که مقدار زیادی از برومید توسط جریان ترجیحی در مسیرهای ترجیحی عبور کرده است. جریان‌های ترجیحی و دفع آنیونی برومید در این خاک موجب زودآبی برومید شده است. شیب کمتر منحنی در اواخر آبشویی تا ۴PV نشان دهنده ثابت شدن C/C_0 در حجم‌های آب خروجی پایانی است که به دلیل اشباع شدن آب غیرمتحرک از برومید می‌باشد و محلول برومید ورودی به خاک به‌طور کامل از آن عبور می‌کند. این نتایج با یافته‌های رز و جوری هماهنگی دارد. آنها نشان دادند که الگوی جریان املاح در خاک‌های ساختمان‌دار و لایه‌ای مزرعه، بسیار نامنظم بوده و دلیل آن را جریان ترجیحی املاح در بخش ساختمان درشت و جریان کندتر در بخش باقی‌مانده، را به علت پخشیدگی املاح درون خاک بیان کردند (۱۵).

همان‌طور که در شکل ۳-ب دیده می‌شود؛ در ساختمان دانه‌ای تحت شرایط غیراشباع، غلظت برومید در زه‌آب ستون در حجم‌های آب خروجی اولیه نسبت به حالت اشباع کمتر است که به دلیل حرکت کندتر آب و برومید می‌باشد. در شرایط غیراشباع منافذ ریز در انتقال شرکت می‌کنند، سرعت حرکت

به دلیل آزاد شدن آهسته برومید از بخش غیرمتحرک می‌باشد. پخشیدگی باعث انتقال برومید به‌درون یا خارج از بخش آب متحرک شده است. اندرسون و بوما با استفاده از یون کلر به‌عنوان یک ردیاب، منحنی رخنه دو نوع خاک با بافت مشابه و ساختمان متفاوت (ساختمان منشوری و ساختمان شبه بلوکی) را مقایسه و گزارش کردند که منحنی رخنه خاک با ساختمان منشوری دارای شیب تند بوده، درحالی‌که منحنی رخنه خاک با ساختمان شبه بلوکی به‌صورت مقارن و پخشیده است. آنها وجود منافذ پیوسته و عبور نسبتاً آهسته آب از خاکدانه‌ها را عامل تقارن و پخشیدگی منحنی رخنه این ساختمان دانستند (۱). تحت شرایط غیراشباع به دلیل فرآیندهای توأم پخشیدگی و پراکنش و جریان ترجیحی در منافذ درشت پیوسته، سرعت حرکت برومید در ساختمان منشوری، در مقایسه با ساختمان تک‌دانه بیشتر بوده و در نتیجه برومید زودتر در خروجی ستون‌ها دیده شد (مقایسه شکل‌های ۱-ب و ۲-ب).

به‌علت نقش عمده منافذ ریز در انتقال برومید و در نتیجه سرعت کندتر برومید در شرایط غیراشباع، منحنی رخنه در ۴PV آب خروجی نسبت به حالت اشباع (۲PV) با فاصله زمانی بیشتری کامل شده است.

اثر ساختمان دانه‌ای بر منحنی رخنه برومید

منحنی رخنه برومید در ساختمان دانه‌ای تحت شرایط اشباع در ۲PV از آب خروجی شیب بسیار تندتری نسبت به ساختمان

در شرایط جریان اشباع و غیراشباع بررسی شد. منحنی رخنه برومید برای ساختمان تک‌دانه به شکل S شکل و نزدیک به الگوی جریان پیستونی و موینه‌ای بود که نقش غالب جریان توده‌ای را در انتقال برومید در این نوع ساختمان خاک نشان می‌دهد. در دو ساختمان منشوری و دانه‌ای، منحنی رخنه در ابتدا دارای شیب تند و سپس شیب ملایم‌تر و کشیدگی بود. پایداری ساختمان و مسیرهای ترجیحی موجب خروج زود هنگام برومید از ستون‌های خاک در این دو ساختمان شد. کشیدگی منحنی رخنه بیان‌گر نقش مهم پخشیدگی عرضی و پراکنش در انتقال برومید در این خاک‌ها می‌باشد. در شرایط اشباع، جبهه برومید نسبت به شرایط غیراشباع به‌علت برتری جریان توده‌ای و جریان سریع‌تر در منافذ درشت زودتر به انتهای ستون رسید. در شرایط غیراشباع، منحنی رخنه در ساختمان تک‌دانه، دیرآیی برومید و در دو ساختمان منشوری و دانه‌ای زودآیی برومید را نشان داده است.

سپاسگزاری

بدین‌وسیله از گروه خاک‌شناسی دانشکده کشاورزی دانشگاه بوعلی سینا همدان و دانشگاه ولی عصر رفسنجان که در انجام این پژوهش ما را یاری نموده‌اند و از همکاری مرکز تحقیقات کشاورزی استان همدان تشکر و قدردانی می‌گردد.

آب و برومید در آنها کمتر می‌باشد و در حجم آب خروجی بیشتری نسبت به حالت اشباع مقدار مشخصی از برومید از ستون خاک خارج شده است. از طرفی شیب کم منحنی رخنه در مراحل بعدی آبشویی به دلیل ورود برومید به درون منافذ ریز درون خاکدانه‌ها می‌باشد. میشل و همکاران گزارش کردند که در شرایط غیراشباع منافذ درشت خاک در انتقال شرکت نمی‌کنند، بنابراین مسیرهای سریعی برای انتقال املاح در خاک وجود ندارد. دیده می‌شود که C/C_0 برومید در حجم‌های آب خروجی $3PV$ و $3/2PV$ بیش‌تر از یک شده است که احتمالاً به دلیل آزاد شدن برومید از بخش آب غیرمتحرک می‌باشد (۱۰). در این تیمار، منحنی رخنه از کشیدگی بیشتری نسبت به منحنی رخنه در ساختمان منشوری برخوردار بود. با توجه به درصد کمتر منافذ ریز در این خاک که نقش عمده را در انتقال تحت شرایط غیراشباع دارند، سرعت حرکت برومید در این تیمار کندتر بوده و در نتیجه غلظت نسبی برومید به‌صورت تدریجی افزایش یافته و شیب منحنی رخنه ملایم‌تر شده است.

در حالت غیراشباع جبهه برومید در حجم‌های آب خروجی بیشتر نسبت به شرایط اشباع، به‌طور کامل به انتهای ستون رسیده و منحنی رخنه در $4PV$ از حجم آب خروجی کامل شده است. بنابراین زمان لازم برای کامل شدن منحنی رخنه برومید در این شرایط بیشتر می‌باشد.

نتیجه‌گیری

در این پژوهش اثر انواع ساختمان خاک بر منحنی رخنه برومید

منابع مورد استفاده

- Anderson, J. L. and J. Bouma. 1977. Water movement through pedal soils: I. Saturated flow. Soil Sci. Soc. Am. J. 41: 413-418.
- Bejat, L., E. Perfect, V. L. Quisenberry, M. S. Coyne and G. R. Haszler. 2000. Solute transport as related to soil structure in unsaturated intact soil blocks. Soil Sci. Soc. Am. J. 64: 818-826.
- Beven, K. and P. German. 1982. Macropores and water flow in soils. Water Resour. Res. 18: 1311-1325.
- Bouma, J. 1991. Influence of soil macroporosity on environmental quality. Adv. Agron. 46: 1-35.
- Buchter, B., C. Hinz, M. Flury and H. Flüehler. 1995. Heterogeneous flow and solute transport in an unsaturated stony soil monolith. Soil Sci. Soc. Am. J. 59: 14-21.
- Flury, M., H. Flüehler, W.A. Jury and J. Leuenberger. 1994. Susceptibility of soils to preferential flow of water: A field study. Water Resour. Res. 30: 1945-1954.
- Forrer, I., A. Papritz, R. Kaste, H. Flüehler and D. Luca. 2000. Quantifying dye tracers in soil profiles by image

- processing. *Eur. J. Soil Sci.* 51: 313-322.
8. Goss, M. J., K. S. Rollins, K. McEwan, J. R. Shaw and H. Lammers Helps. 2002. The management of manure in Ontario with respect to water quality. (Commissioned Paper No. 6). *In: The Walkerton Inquiry*. Queens Printer for Ontario. Ontario Ministry of the Attorney General, Toronto, Ont.
 9. Ma, L. and H. M. Selim. 1994. Tortuosity, mean residence time, and deformation of tritium breakthroughs from soil columns. *Soil Sci. Soc. Am. J.* 58: 1076-1085.
 10. Michels, A., S. Gäth and P. Kämpfer. 2004. Transport of microorganisms and particles in unsaturated soil under different management practices. <http://www.uni-giessen.de/ilr/gaeth/index.html>.
 11. Nielsen, D. R. and J.W. Biggar. 1960. Miscible displacement in soil. 1. Experimental information. *Soil Sci. Soc. Am. Proc.* 25: 1-5.
 12. Nielsen, D. R. and J.W. Biggar. 1962. Miscible displacement: IV. Mixing in glass beads. *Soil Sci. Soc. Am. Proc.* 30:10-13.
 13. Nked-Kizza, P., J. W. Biggar, M. Th. van Genuchten, P. J. Wierenga, H. M. Selim, J. M. Davidson and D. R. Nielsen. 1983. Modelling tritium and chloride ³⁶ transport through an aggregated Oxisol. *Water Resour. Res.* 20: 886-872.
 14. Poletika, N. N. and W. A. Jury. 1994. Effects of soil management on water flow distribution and solute dispersion. *Soil Sci. Soc. Am. J.* 58: 999-1006.
 15. Roth, K. and W. A. Jury. 1991. Transport of chloride through an unsaturated field soil. *Water Resour. Res.* 27: 2533-2541.
 16. Schulin, R., P. J. Wierenga, H. Flüher and J. Leuenberger. 1987. Solute transport through a stony soil. *Soil Sci. Soc. Am. J.* 51: 36-42.
 17. Strock, J. S., D. K. Cassel and M. L. Gumpertz. 2001. Spatial Variability of water and bromide transport through variably saturated soil blocks. *Soil Sci. Soc. Am. J.* 65: 1607-1617.
 18. Vervoort, R. W., D. E. Radcliffe and L. T. West. 1999. Soil structure development and preferential solute flow. *Water Resour. Res.* 35: 913-928.
 19. White, R. E. 1985. The influence of macropores on the transport of dissolved and suspended matters through soil. *Adv. Soil Sci.* 3: 94-120.
 20. White, W. M. 1993. Dry aggregate distribution. PP. 659-662. *In: M. R. Carter (Ed.), Manule on Soil Sampling and Methods of Analysis*. CRC Press, Boca Raton, FL.

Breakthrough Curve of Bromide as Affected by Soil Structure in Saturated and Unsaturated Conditions

E. Amiri^{1*}, A. A. Mahboubi¹, M. R. Mosaddeghi² and H. Shirani³

(Received: Jun. 05- 2012; Accepted: Feb. 26-2013)

Abstract

In this study, the effect of soil structure under saturated and unsaturated flow conditions on nonreactive bromide (BR) transport was investigated. The soil structure treatments consisted of undisturbed columns (prismatic and granular structures), and disturbed columns (single- grain structure). A constant concentration ($C_0 = 0.005$ M) of bromide was supplied on the surface of the columns in a steady-state flow condition. For the saturated flow condition, a flux equal to the highest saturated hydraulic conductivity (K_s) of the columns was applied on all of the columns. To create the unsaturated flow condition, a flux equal to the half of the lowest K_s of the columns was imposed on all of the columns. The leaching of the columns was followed for five pore volumes (5PV) and the bromide concentration of the effluent was measured at 0.2PV intervals using bromide selective electrode. The breakthrough curve (BTC) of single- grain structure was sigmoidal (S-shaped) and similar to piston-capillary flow form. In contrast, BTCs of the granular and prismatic structures had a steep initial part and later gradual tailed part. The preferential pathways caused the early appearance of bromide in the leachate of columns of these two structures. Tailing of the BTCs might be due to dispersion and diffusion between mobile and immobile water fractions. In saturated condition, the bromide plume appeared earlier than that in the unsaturated condition because of domination of mass flow and rapid macroporous stream. The results demonstrated the importance of soil structure, preferential pathways, and flow conditions in solute and pollutant transport.

Keyword: Prismatic structure, Granular structure, Single- grain structure, Pore volume, Preferential flow, Tailing.

1. Dept. of Soil Sci., College of Agric., Bu-Ali Sina Univ., Hamedan, Iran.

2. Dept. of Soil Sci., College of Agric., Isf. Univ. Technol., Isfahan, Iran.

3. Dept. of Soil Sci., College of Agric., Vali-Asr Univ., Rafsanjan, Iran.

*: Corresponding Author, Email: elham1575@gmail.com